

$^{80}\text{Se}(\text{d},2\text{n}\gamma), ^{78}\text{Se}(\alpha,\text{pn}\gamma)$  1984Do02

Type	Author	History Citation	Literature Cutoff Date
Full Evaluation	Balraj Singh	NDS 105, 223 (2005)	22-Jun-2005

**1984Do02:**  $^{80}\text{Se}(\text{d},2\text{n}\gamma)$  E=13.5 MeV, measured  $\gamma$ ,  $\gamma\gamma$ ,  $\gamma(\theta)$  and  $^{78}\text{Se}(\alpha,\text{pn}\gamma)$  E=23, 27 MeV; measured  $\gamma$ ,  $\gamma\gamma$ ,  $\alpha\gamma(\text{t})$ . The authors also report results from  $^{80}\text{Se}(\text{p},\text{n}\gamma)$  reaction (see  $^{80}\text{Se}(\text{p},\text{n}\gamma)$  dataset for details. Relative excitation functions in different reactions used in  $J^\pi$  assignments.

[Additional information 1.](#)

 $^{80}\text{Br}$  Levels

E(level) <sup>‡</sup>	$J^\pi$ <sup>†</sup>	$T_{1/2}$	Comments
0.0	1 <sup>+</sup>		
37.060 18	2 <sup>-</sup>		
85.86 3	5 <sup>-</sup>		
256.45 3	(2) <sup>+</sup>		
271.38 3	(2) <sup>-</sup>		
281.30 3	(3) <sup>-</sup>		
309.50 3	(4) <sup>-</sup>		
314.90 10	(1) <sup>+</sup>		
331.06 4	5 <sup>+</sup>	0.7 ns 2	$T_{1/2}$ : from 245 $\gamma(\text{t})$ in $(\alpha,\text{pn}\gamma)$ (1984Do02).
331.42 4	(3) <sup>-</sup>		
357.24 5	(6) <sup>+</sup>	0.4 ns 2	$T_{1/2}$ : from 271 $\gamma(\text{t})$ in $(\alpha,\text{pn}\gamma)$ .
366.63 3	(1,2) <sup>-</sup>		
379.93 4	(6) <sup>-</sup>		
380.48 3	(3) <sup>-</sup>		
385.73 4	(4) <sup>-</sup>		
390.54 5	(4) <sup>-</sup>		
447.88 5	(7) <sup>+</sup>		
456.41 3	(4) <sup>-</sup>		
469.01 3	(2) <sup>+</sup>		
469.30 4	(3) <sup>-</sup>		
492.91 3	(2) <sup>-</sup>		
500.21 5	(4) <sup>-</sup>		
523.32 4	(5) <sup>-</sup>		
549.59 4	(3) <sup>+</sup>		
572.95 4	(3,4,5) <sup>-</sup>		
586.14 5	(3) <sup>+</sup>		
615.33 6	(8) <sup>+</sup>		
646.46 11			
660.6 2	(2) <sup>+</sup>		
682.94 4	(3,4 <sup>-</sup> ,5 <sup>-</sup> )		
685.30 10	(3) <sup>-</sup>		
717.59 10	(3,4 <sup>-</sup> ,5)		
771.23 6	(4 <sup>-</sup> ,5 <sup>-</sup> ,6 <sup>-</sup> )		
774.18 5	(7) <sup>-</sup>		
825.28 6	(6,7 <sup>+</sup> )		
860.66 6	(2) <sup>+</sup>		
1033.08 9	(8) <sup>+</sup>		
1141.04 12	(9) <sup>+</sup>		
1346.8? 3			
1405.9? 3			
1534.7? 3			
1587.5 2	(10) <sup>+</sup>		

<sup>†</sup> From 'Adopted Levels'.

<sup>‡</sup> From least-squares fit to  $E\gamma$ 's.

$^{80}\text{Se}(d,2n\gamma), ^{78}\text{Se}(\alpha,pn\gamma)$  **1984Do02 (continued)** $\gamma(^{80}\text{Br})$ 

$\gamma(\theta)$  coefficients ( $A_2$  and  $A_4$ ) are mainly from (d,2n $\gamma$ ), unless otherwise specified. The data were normalized by 1984Do02 to 260 $\gamma$  (in  $^{81}\text{Br}$ ) assumed as isotropic.

The placement of all  $\gamma$  rays is from  $\gamma\gamma$  data.

$\gamma$ -ray intensities in $^{78}\text{Se}(\alpha,pn\gamma)$			
$E_\gamma$	$I_\gamma$	$E_\gamma$	$I_\gamma$
26.18	8 1	244.24	5 2
37.05	53 3	245.20	100 4
59.48	5.1 2	258.1	< 2
74.97	$\leq 0.5$	263.44	2 1
90.64	65 2	271.4+271.4	12
116.8	< 0.6	274.52	< 2
124.03	1.2 3	294.1+294.3	27 2
137.5	1.6 3	299.5+299.9	5 1
143.40	1.0 3	315.4	6 1
159.0+159.8	0.8 3	343.42	3 1
167.45	54 2	394.25	7 2
175.11	2.6 4	446.4	8 3
195.60	1.7 5	525.7	17 3
213.81	3.8 5	790.6	< 5
218.9+219.4	5 1	919.4	< 5
223.63	20 2	973	12 6
234.32	< 2		

$E_\gamma^\dagger$	$I_\gamma^\ddagger$	$E_i(\text{level})$	$J_i^\pi$	$E_f$	$J_f^\pi$	Mult.#	$a^a$	Comments
26.18 3	5.0 5	357.24	(6 <sup>+</sup> )	331.06	5 <sup>+</sup>	D		$A_2=-0.21$ 2, $A_4=-0.06$ 3.
37.05 2	52 2	37.060	2 <sup>-</sup>	0.0	1 <sup>+</sup>	E1&	1.56	
48.76 4	0.2 1	85.86	5 <sup>-</sup>	37.060	2 <sup>-</sup>	M3&	308	
50.12 3	0.8 1	331.42	(3) <sup>-</sup>	281.30	(3) <sup>-</sup>			$A_2=+0.07$ 4, $A_4=+0.01$ 5.
59.48 2	14 1	390.54	(4) <sup>-</sup>	331.06	5 <sup>+</sup>	D		$A_2=-0.06$ 2, $A_4=+0.02$ 3.
74.97 3	0.6 1	331.42	(3) <sup>-</sup>	256.45	(2) <sup>+</sup>			$A_2=-0.02$ 5, $A_4=-0.03$ 7.
75.93 3	0.4 1	456.41	(4) <sup>-</sup>	380.48	(3) <sup>-</sup>	D		$A_2=-0.18$ 10, $A_4=-0.07$ 14.
80.60 4	0.3 1	549.59	(3) <sup>+</sup>	469.01	(2) <sup>+</sup>	D		$A_2=-0.18$ 11, $A_4=-0.22$ 16.
90.64 2	26 1	447.88	(7 <sup>+</sup> )	357.24	(6 <sup>+</sup> )	D		$A_2=-0.31$ 3, $A_4=+0.05$ 6 (from ( $\alpha,pn\gamma$ )).
99.17 3	0.4 1	380.48	(3) <sup>-</sup>	281.30	(3) <sup>-</sup>			$A_2=+0.17$ 9, $A_4=0.0$ 1.
104.43 4	0.4 1	385.73	(4) <sup>-</sup>	281.30	(3) <sup>-</sup>	D		$A_2=-0.19$ 6, $A_4=0.0$ 1.
112.4 1	0.2 1	492.91	(2) <sup>-</sup>	380.48	(3) <sup>-</sup>			
116.8 <sup>c</sup>	$\leq 0.1$	447.88	(7 <sup>+</sup> )	331.06	5 <sup>+</sup>			
124.03 2	1.6 1	380.48	(3) <sup>-</sup>	256.45	(2) <sup>+</sup>	D		$A_2=-0.19$ 3, $A_4=+0.05$ 4.
126.28 3	0.6 2	492.91	(2) <sup>-</sup>	366.63	(1,2) <sup>-</sup>			$A_2=0.0$ 1.
137.5 1	1.6 3	523.32	(5) <sup>-</sup>	385.73	(4) <sup>-</sup>	D		$A_2=-0.18$ 11, $A_4=-0.07$ 15.
143.40 3	0.9 2	523.32	(5) <sup>-</sup>	379.93	(6) <sup>-</sup>	D		$A_2=-0.13$ 7, $A_4=+0.11$ 10.
146.89 2	2.9 1	456.41	(4) <sup>-</sup>	309.50	(4) <sup>-</sup>			$A_2=+0.16$ 2, $A_4=+0.01$ 3.
159.0 1	0.7 1	549.59	(3) <sup>+</sup>	390.54	(4) <sup>-</sup>	D		$A_2=-0.04$ 8, $A_4=+0.03$ 11.
159.8 1	1.3 1	469.30	(3) <sup>-</sup>	309.50	(4) <sup>-</sup>			$A_2=-0.01$ 4, $A_4=+0.03$ 6.
167.45 2	16 1	615.33	(8 <sup>+</sup> )	447.88	(7 <sup>+</sup> )	D+Q		$A_2=-0.37$ 4, $A_4=-0.01$ 5 (from ( $\alpha,pn\gamma$ )).
175.11 2	3.6 2	456.41	(4) <sup>-</sup>	281.30	(3) <sup>-</sup>	D		$A_2=-0.05$ 2, $A_4=0.00$ 3.
182.8 <sup>c</sup> 1	$\approx 0.2$	682.94	(3,4 <sup>-</sup> ,5 <sup>-</sup> )	500.21	(4) <sup>-</sup>			
187.24 4	0.9 2	572.95	(3,4,5) <sup>-</sup>	385.73	(4) <sup>-</sup>	D		$A_2=-0.12$ 8, $A_4=+0.05$ 12.
190.6 <sup>@</sup> 2	0.6 <sup>@</sup>	500.21	(4) <sup>-</sup>	309.50	(4) <sup>-</sup>			

Continued on next page (footnotes at end of table)

$^{80}\text{Se}(d,2n\gamma), ^{78}\text{Se}(\alpha, pn\gamma)$  1984Do02 (continued) $\gamma(^{80}\text{Br})$  (continued)

$E_\gamma$ †	$I_\gamma$ ‡	$E_i$ (level)	$J_i^\pi$	$E_f$	$J_f^\pi$	Mult. #	Comments
195.60 2	10 1	586.14	(3 <sup>+</sup> )	390.54	(4) <sup>-</sup>	D	$A_2=-0.05$ 2, $A_4=+0.02$ 2.
207.7 1	0.4 2	1033.08	(8 <sup>+</sup> )	825.28	(6,7 <sup>+</sup> )		$A_2=-0.08$ 9.
211.6 1	1.4 3	492.91	(2) <sup>-</sup>	281.30	(3) <sup>-</sup>		
213.81 2	6.4 3	523.32	(5) <sup>-</sup>	309.50	(4) <sup>-</sup>	D	$A_2=-0.23$ 3, $A_4=+0.02$ 4.
218.9 1	3 1	500.21	(4) <sup>-</sup>	281.30	(3) <sup>-</sup>	D	$A_2=-0.17$ 5.
219.4 1	11 1	256.45	(2) <sup>+</sup>	37.060	2 <sup>-</sup>		$A_2=+0.06$ 2.
223.63 2	29 1	309.50	(4) <sup>-</sup>	85.86	5 <sup>-</sup>	D	$A_2=-0.20$ 7, $A_4=-0.07$ 12 (from $(\alpha, pn\gamma)$ ).
226.51 4	1.1 1	682.94	(3,4 <sup>-</sup> ,5 <sup>-</sup> )	456.41	(4) <sup>-</sup>	D	$A_2=-0.17$ 5, $A_4=0.0$ 1.
234.32 2	5.2 2	271.38	(2) <sup>-</sup>	37.060	2 <sup>-</sup>		$A_2=+0.09$ 2, $A_4=-0.01$ 3.
236.44 4	1.1 1	492.91	(2) <sup>-</sup>	256.45	(2) <sup>+</sup>		$A_2=+0.04$ 10.
240.0 <sup>c</sup> 1	0.5 2	549.59	(3) <sup>+</sup>	309.50	(4) <sup>-</sup>		
244.24 3	16 1	281.30	(3) <sup>-</sup>	37.060	2 <sup>-</sup>	D	$A_2=-0.14$ 2, $A_4=+0.03$ 2.
245.20 3	100 2	331.06	5 <sup>+</sup>	85.86	5 <sup>-</sup>		$A_2=+0.26$ 2, $A_4=-0.04$ 3 (from $(\alpha, pn\gamma)$ ).
247.91 4	1.6 1	771.23	(4 <sup>-</sup> ,5 <sup>-</sup> ,6 <sup>-</sup> )	523.32	(5) <sup>-</sup>		$A_2=-0.04$ 9, $A_4=+0.12$ 12.
263.44 3	7.0 3	572.95	(3,4,5) <sup>-</sup>	309.50	(4) <sup>-</sup>	D	$A_2=-0.20$ 3, $A_4=+0.01$ 4.
271.4 <sup>b@</sup> 1	8 <sup>b@</sup>	271.38	(2) <sup>-</sup>	0.0	1 <sup>+</sup>		$I_\gamma(\text{doublet})=15$ 1. $A_2=+0.06$ 1, $A_4=+0.01$ 2.
271.4 <sup>b</sup> 1	7 <sup>b</sup>	357.24	(6 <sup>+</sup> )	85.86	5 <sup>-</sup>		
274.52 3	1.4 1	860.66	(2) <sup>+</sup>	586.14	(3 <sup>+</sup> )	D	$A_2=-0.06$ 5, $A_4=+0.05$ 6.
278.2 <sup>c</sup> 1	0.4 1	549.59	(3) <sup>+</sup>	271.38	(2) <sup>-</sup>		$A_2=+0.07$ 15.
294.1 <sup>@</sup> 1	25 <sup>@</sup>	379.93	(6) <sup>-</sup>	85.86	5 <sup>-</sup>		$I_\gamma(294.1\gamma+294.3\gamma)=29$ 1. $A_2=-0.12$ 9, $A_4=+0.06$ 12 (from $(\alpha, pn\gamma)$ ).
294.3 <sup>@</sup> 1	4 <sup>@</sup>	331.42	(3) <sup>-</sup>	37.060	2 <sup>-</sup>		For 294.1 $\gamma$ +294.3 $\gamma$ , $A_2=+0.03$ 2, $A_4=0.00$ 2.
299.5 <sup>@</sup> 3	1 <sup>@</sup>	685.30	(3) <sup>-</sup>	385.73	(4) <sup>-</sup>		
299.9 <sup>@</sup> 1	10 <sup>@</sup>	385.73	(4) <sup>-</sup>	85.86	5 <sup>-</sup>		$I_\gamma(299.5\gamma+299.9\gamma)=11$ 1. For doublet, $A_2=-0.10$ 2, $A_4=+0.03$ 2.
302.99 5	1.4 2	682.94	(3,4 <sup>-</sup> ,5 <sup>-</sup> )	379.93	(6) <sup>-</sup>		$A_2=0.0$ 1.
314.9 1	4.5 5	314.90	(1) <sup>+</sup>	0.0	1 <sup>+</sup>		For 314.9 $\gamma$ +315.4 $\gamma$ , $A_2=-0.04$ 2, $A_4=+0.03$ 3.
315.4 1	5.8 5	646.46		331.06	5 <sup>+</sup>		
331.8 2	0.5 2	717.59	(3,4 <sup>-</sup> ,5)	385.73	(4) <sup>-</sup>		
343.42 3	5.7 4	380.48	(3) <sup>-</sup>	37.060	2 <sup>-</sup>	D	$A_2=-0.27$ 3, $A_4=+0.03$ 4.
366.63 3	4.7 3	366.63	(1,2) <sup>-</sup>	0.0	1 <sup>+</sup>		$A_2=+0.03$ 3, $A_4=+0.02$ 4.
370.56 4	2.5 2	456.41	(4) <sup>-</sup>	85.86	5 <sup>-</sup>		$A_2=+0.19$ 7, $A_4=+0.06$ 10.
373.6 1	1.7 2	682.94	(3,4 <sup>-</sup> ,5 <sup>-</sup> )	309.50	(4) <sup>-</sup>	D+Q	$A_2=-0.46$ 6, $A_4=+0.04$ 8.
375.8 1	1.4 2	685.30	(3) <sup>-</sup>	309.50	(4) <sup>-</sup>		$A_2=-0.04$ 7, $A_4=-0.03$ 10.
377.39 3	4.1 3	825.28	(6,7 <sup>+</sup> )	447.88	(7 <sup>+</sup> )	D	$A_2=-0.07$ 3, $A_4=+0.02$ 5.
394.25 3	4.5 3	774.18	(7) <sup>-</sup>	379.93	(6) <sup>-</sup>		$A_2=+0.39$ 16, $A_4=+0.2$ 2.
408.1 1	1.4 2	717.59	(3,4 <sup>-</sup> ,5)	309.50	(4) <sup>-</sup>	D	$A_2=-0.28$ 15, $A_4=+0.1$ 2.
414.37 4	5.2 3	500.21	(4) <sup>-</sup>	85.86	5 <sup>-</sup>	D	$A_2=-0.21$ 4, $A_4=+0.14$ 6.
417.8 1	0.8 2	1033.08	(8 <sup>+</sup> )	615.33	(8 <sup>+</sup> )		
432.24 3	4.5 3	469.30	(3) <sup>-</sup>	37.060	2 <sup>-</sup>		$A_2=+0.03$ 5, $A_4=+0.06$ 6.
437.5 1	0.8 2	523.32	(5) <sup>-</sup>	85.86	5 <sup>-</sup>		
446.4 2	0.5 3	1587.5	(10 <sup>+</sup> )	1141.04	(9 <sup>+</sup> )	D+Q	$A_2=-0.55$ 9 (from $(\alpha, pn\gamma)$ ).
455.9 1	0.9 2	492.91	(2) <sup>-</sup>	37.060	2 <sup>-</sup>		
461.8 <sup>c</sup>	0.4 3	771.23	(4 <sup>-</sup> ,5 <sup>-</sup> ,6 <sup>-</sup> )	309.50	(4) <sup>-</sup>		
469.02 3	4.7 6	469.01	(2) <sup>+</sup>	0.0	1 <sup>+</sup>	D	$A_2=-0.13$ 5, $A_4=+0.02$ 6.
493.0 1	0.8 2	492.91	(2) <sup>-</sup>	0.0	1 <sup>+</sup>		
494.2 1	1.8 2	825.28	(6,7 <sup>+</sup> )	331.06	5 <sup>+</sup>		
512.5 2	4 2	549.59	(3) <sup>+</sup>	37.060	2 <sup>-</sup>		
525.7 1	3.8 4	1141.04	(9 <sup>+</sup> )	615.33	(8 <sup>+</sup> )	D+Q	$A_2=-0.55$ 6, $A_4=-0.02$ 8.
549.6 1	1.8 3	549.59	(3) <sup>+</sup>	0.0	1 <sup>+</sup>		$A_2=+0.5$ 2.
660.6 2	1.1 4	660.6	(2) <sup>+</sup>	0.0	1 <sup>+</sup>	D	$A_2=-0.5$ 3.
676.0 2	4.9 5	1033.08	(8 <sup>+</sup> )	357.24	(6 <sup>+</sup> )		
731.5 3	0.7 5	1346.8?		615.33	(8 <sup>+</sup> )		

Continued on next page (footnotes at end of table)

$^{80}\text{Se}(\text{d},2\text{n}\gamma), ^{78}\text{Se}(\alpha,\text{pn}\gamma)$  1984Do02 (continued) $\gamma(^{80}\text{Br})$  (continued)

$E_\gamma$ <sup>†</sup>	$I_\gamma$ <sup>‡</sup>	$E_i(\text{level})$	$J_i^\pi$	$E_f$	$J_f^\pi$	Comments
790.6 3	1.4 5	1405.9?		615.33	(8 <sup>+</sup> )	
919.4 3	1.0 5	1534.7?		615.33	(8 <sup>+</sup> )	
973 1	0.8 6	1587.5	(10 <sup>+</sup> )	615.33	(8 <sup>+</sup> )	$I_\gamma$ : from $I_\gamma(973\gamma)/I_\gamma(446\gamma)=1.5$ 9 in $(\alpha,\text{pn}\gamma)$ .

<sup>†</sup> From 1984Do02, unless otherwise stated. Values are probably averages from (d,2n $\gamma$ ) and (p,n $\gamma$ ) results.

<sup>‡</sup> At E(d)=13.5 MeV and  $\theta=125^\circ$ .

<sup>#</sup> D(+Q) for transitions with negative  $A_2$  ( $\Delta J=0,1$ ) and D,E2 for transitions with positive  $A_2$  ( $\Delta J=0,1,2$ ).  $A_4 \approx 0$  for all cases. For mult=D, small admixture of mult=Q is possible but is not quoted here.

<sup>@</sup> From  $\gamma\gamma$  data for unresolved doublet.

<sup>&</sup> From 'adopted gammas'.

<sup>a</sup> Total theoretical internal conversion coefficients, calculated using the BrIcc code (2008Ki07) with Frozen orbital approximation based on  $\gamma$ -ray energies, assigned multipolarities, and mixing ratios, unless otherwise specified.

<sup>b</sup> Multiply placed with intensity suitably divided.

<sup>c</sup> Placement of transition in the level scheme is uncertain.

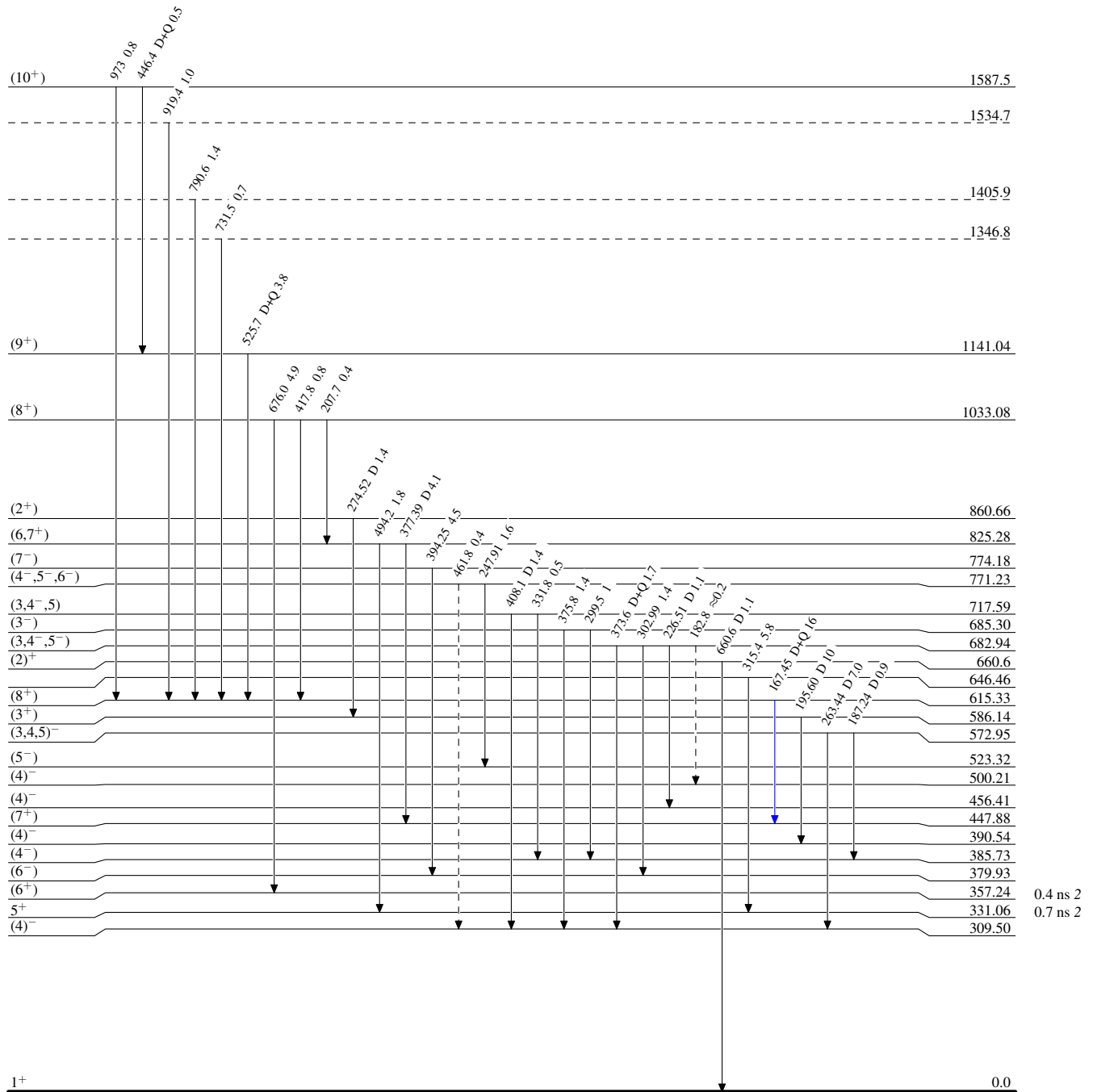
$^{80}\text{Se}(d,2n\gamma), ^{78}\text{Se}(\alpha,pn\gamma)$  1984Do02

Legend

Level Scheme

Intensities: Relative  $I_\gamma$

- $I_\gamma < 2\% \times I_\gamma^{max}$
- $I_\gamma < 10\% \times I_\gamma^{max}$
- $I_\gamma > 10\% \times I_\gamma^{max}$
- - - - -→  $\gamma$  Decay (Uncertain)



$^{80}\text{Br}_{45}$

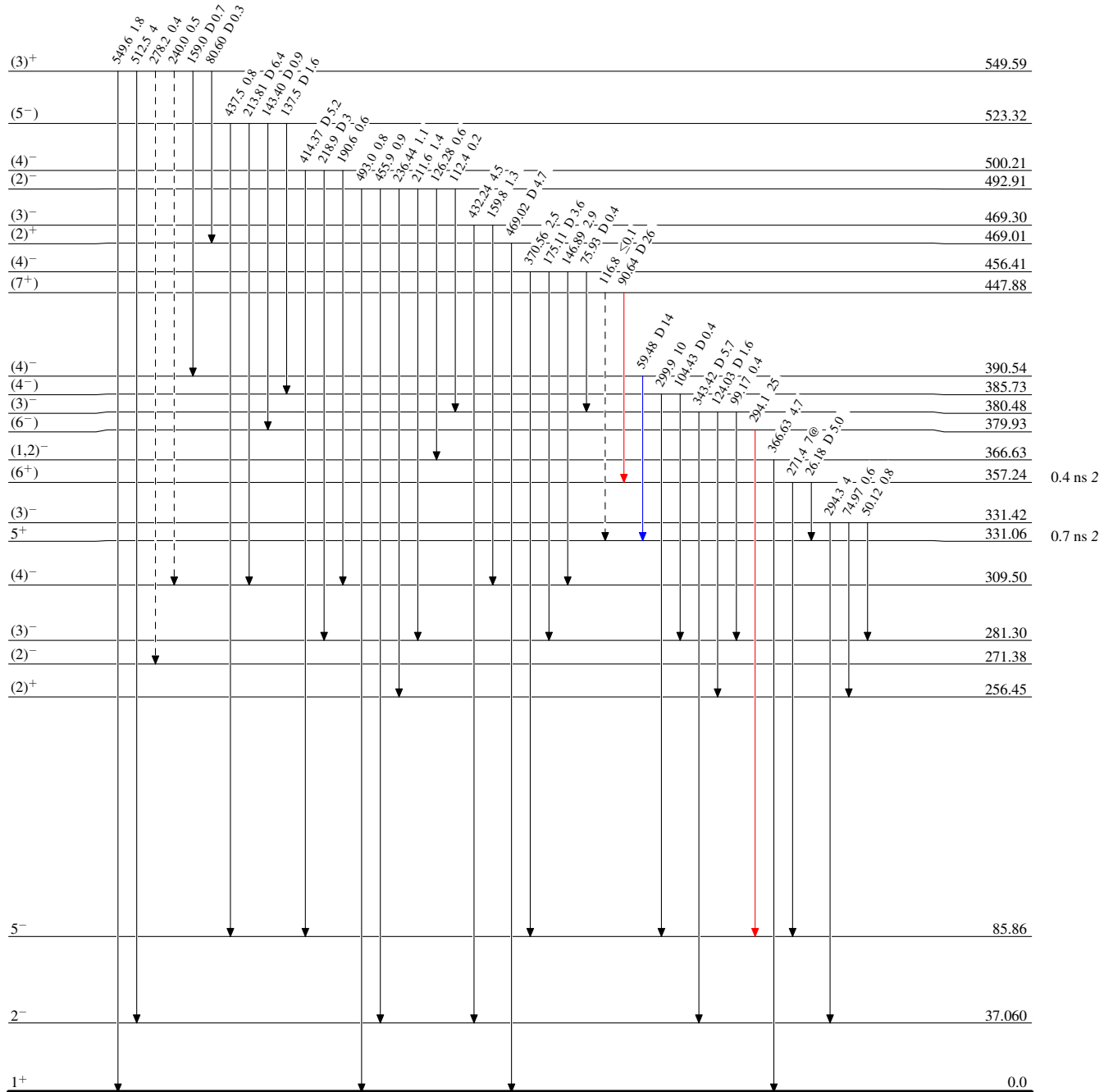
$^{80}\text{Se}(d,2n\gamma), ^{78}\text{Se}(\alpha,pn\gamma)$  1984Do02

Level Scheme (continued)

Intensities: Relative  $I_\gamma$   
@ Multiply placed: intensity suitably divided

Legend

- $\longrightarrow$   $I_\gamma < 2\% \times I_\gamma^{max}$
- $\longrightarrow$   $I_\gamma < 10\% \times I_\gamma^{max}$
- $\longrightarrow$   $I_\gamma > 10\% \times I_\gamma^{max}$
- $\dashrightarrow$   $\gamma$  Decay (Uncertain)



$^{80}\text{Br}_{45}$

$^{80}\text{Se}(\text{d},2\text{n}\gamma), ^{78}\text{Se}(\alpha,\text{pn}\gamma)$  1984Do02

## Level Scheme (continued)

Intensities: Relative  $I_\gamma$   
 @ Multiply placed: intensity suitably divided

## Legend

$\longrightarrow$   $I_\gamma < 2\% \times I_\gamma^{\text{max}}$   
 $\longrightarrow$   $I_\gamma < 10\% \times I_\gamma^{\text{max}}$   
 $\longrightarrow$   $I_\gamma > 10\% \times I_\gamma^{\text{max}}$

